

ство. В частности, меняется характер спин-флоп перехода $\Gamma_1 - \Gamma_4$ в $D_y F_e O_3$, который, согласно традиционным представлениям [1], является фазовым переходом первого рода, осуществляется путем опрокидывания магнитных моментов подрешеток в ab -плоскости кристалла $D_y F_e O_3$. На рис. 2 для иллюстрации приведена фазовая диаграмма ортоферрита в поле $H \parallel b$ -оси при условии $K_2(ab) < 0$ и $\sigma_y^{(0)} < \sigma_{kp} = \chi_\perp \sqrt{K_1(ac) + 2K_2(ac)}$. Переход $\Gamma_1 - \Gamma_4$ идет в этом случае либо как переход первого рода, либо через пространственную конфигурацию Γ_{124} по схеме $\Gamma_1 - \Gamma_{124} - \Gamma_4$. При $K_2(ab) < 0$, но $\sigma_y^{(0)} > \sigma_{kp}$ фаза Γ_4 не достигается ни в каких полях (область устойчивости фазы Γ_{124} с увеличением поля неограниченно расстет — переход $\Gamma_1 - \Gamma_{124}$). При положительной второй константе $K_2(ab) > 0$ и $\sigma_y^{(0)} < \sigma_{kp}$ переход $\Gamma_1 - \Gamma_4$ всегда идет через пространственную фазу Γ_{124} (нет области сосуществования фаз Γ_1 и Γ_4). При этом, если $\sigma_y^{(0)} > \sigma_{kp}$, то, как и выше, фаза Γ_4 не достигается ни в каких внешних полях.

Величины критических полей переходов $\Gamma_1 - \Gamma_{124}$ и $\Gamma_{124} - \Gamma_4$ определяются соответственно решением уравнений

$$K_1(ab) = -2K_2(ab) + \frac{(\sigma_y^{(0)} H)^2}{\chi_\perp(H^2 - H_1^2)} - \chi_\perp H^2 \quad \text{и} \quad K_1(ab) = \chi_\perp H^2 \left[\left(\frac{\sigma_y^{(0)} H}{\sigma_{kp}} \right)^2 - 1 \right],$$

$$H_1 = [\chi_\perp^{-1} |K_1(bc) + 2K_2(bc)|]^{1/2}.$$

Отметим также, что внешнее поле $H \parallel b$ -оси уменьшает область сосуществования фаз Γ_1 и Γ_4 (рис. 2) и сдвигает точку Морина, что может быть обнаружено при исследовании перехода $\Gamma_4 - \Gamma_1$ в $D_y F_e O_3$.

Л и т е р а т у р а

- [1] Белов К. П., Звездин А. К., Кадомцева А. А., Левитин Р. З. Ориентационные переходы в редкоземельных магнетиках. М.: Наука, 1979. 320 с.
- [2] Кадомцева А. М., Крынецкий И. Б., Крежев К. и др. ФТТ, 1983, т. 25, № 3, с. 877—880.
- [3] Агафонов А. П., Зорин И. А., Кадомцева А. М. и др. ФТТ, 1984, т. 26, № 7, с. 2131—2137.

Уральский государственный университет
им. А. М. Горького
Свердловск

Поступило в Редакцию
28 августа 1987 г.

УДК 535.345 : 535.376 + 533.951

Физика твердого тела, том 30, в. 2, 1988
Solid State Physics, vol. 30, № 2, 1988

МНОГОПЛАЗМОННЫЕ ОПТИЧЕСКИЕ ПЕРЕХОДЫ В НЕВЫРОЖДЕННОЙ ЭЛЕКТРОННО-ДЫРОЧНОЙ ПЛАЗМЕ ПРЯМОЗОННЫХ ПОЛУПРОВОДНИКОВ

B. С. Вавилов, A. A. Клюканов,
Э. А. Сенокосов, Л. Э. Чуботару,
M. B. Чукичев

Исследование электронных переходов в сильно возбужденных полупроводниках стимулируется их применением в качестве источников лазерного излучения. В последнее время появился ряд экспериментальных работ [1-3], посвященных изучению ЛМ в условиях, когда в излучении начинают проявляться колебания ЭДП. Так, краевая полоса низкотемпера-

турной катодолюминесценции эпитаксиальных пленок $n\text{ZnSe}/\text{Al}_2\text{O}_3$ при плотностях тока возбуждения $j=20 \text{ A/cm}^2$ расщепляется в узком температурном интервале (50–70 К) на отдельные эквидистантные линии [3], расстояние между которыми и их число (~ 10) меняются с уровнем возбуждения. Авторами [3, 4] было выдвинуто предположение, что осцилляционная структура полосы связана с участием плазмонов в рекомбинационном излучении невырожденной ЭДП. В данной работе предлагается теоретический расчет полосы ЛМ электронно-дырочной плазмы в прямозонных полупроводниках, доказывающий ее многоплазмонную структуру.

Оператор взаимодействия электрона и дырки с плазмонами определим, используя метод коллективных переменных Бома и Пайнса [5], в соответствии с которыми волновая функция ЭДП представляется в виде произведения индивидуально-частичной волновой функции на функцию плазмонов, зависящую от $n' = x_c^3 V / 6\pi^2$ коллективных координат, где x_c — волновой вектор, соответствующий верхней границе существования плазменных волн, V — объем кристалла. Для сохранения неизменным полного числа степеней свободы на волновую функцию ЭДП налагается дополнительное условие

$$\left\{ \hat{P}_x - i \left(\frac{4\pi e^2}{\epsilon_0 x^2 V} \right)^{1/2} \sum_n (e^{i x \mathbf{r}_n^e} - e^{i x \mathbf{r}_n^h}) \right\} \psi = 0, \quad x \leq x_c, \quad (1)$$

где \hat{P}_x — оператор импульса плазмона с волновым вектором x , ϵ_0 — статическая диэлектрическая проницаемость, \mathbf{r}_n^e и \mathbf{r}_n^h — координаты п-го электрона и дырки. В отличие от работы [6] в сумму по n (1) рекомбинирующие электрон и дырка не включаются. С помощью унитарного преобразования дальнодействующую часть кулоновского взаимодействия пары с ЭДП можно представить в виде

$$V_{e-p} = i \sum_{x \leq x_c} \left(\frac{4\pi e^2}{\epsilon_0 x^2 V} \right)^{1/2} \hat{P}_x (e^{-i x \mathbf{r}_e} - e^{-i x \mathbf{r}_h}). \quad (2)$$

Оператор (2) формально можно получить из кулоновского потенциала с помощью дополнительного условия (1), которое затрагивает как переменные плазмонов, так и частиц. Второе унитарное преобразование позволяет перенести дополнительное условие (1) на функцию частиц, а оператор (2) представить в виде

$$V_{e-p} = \sum_{x \leq x_c} \left(\frac{2\pi e^2 \hbar \omega_x}{\epsilon_0 x^2 V} \right)^{1/2} [b_x (e^{i x \mathbf{r}_e} - e^{i x \mathbf{r}_h}) + b_x^+ (e^{-i x \mathbf{r}_e} - e^{-i x \mathbf{r}_h})], \quad (3)$$

где b_x^+ и b_x — операторы рождения и уничтожения плазмона с частотой ω_x .

Оператор взаимодействия с плазмонами (3) формально совпадает с фрелиховским, если в последнем заменить эффективную диэлектрическую проницаемость на ϵ_0 , а LO -фононы на плазмоны. Это обусловлено аналогией между полярными оптическими и плазменными колебаниями. Существенным является то, что импульсы плазмонов малы. Это позволяет пренебречь вектором x так же, как и импульсом фотона, и получить в случае прямых межзонных переходов с участием плазмонов выражение для форм-функции полосы ЛМ невырожденной ЭДП

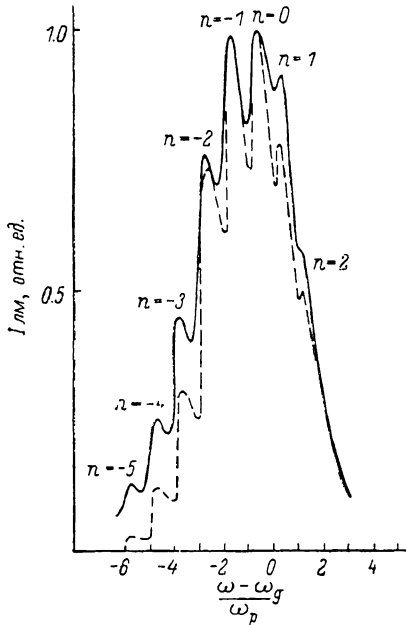
$$F(\omega) = e^{-\frac{1}{2} a \operatorname{ctbh} \frac{\beta}{2}} \sum_{n=-\infty}^{\infty} e^{-\frac{1}{2} n^2 \frac{\beta^2}{\omega_n^{1/2} \epsilon^{-\beta \omega_n} I_n(z)}}, \quad (4)$$

где $\omega_n = \frac{1}{\omega_p} (\omega - \omega_g) + \frac{a}{2}$ — безразмерная кинетическая энергия пары, $z = \frac{a}{2 \sinh \frac{\beta}{2}} = a \sqrt{n(n+1)}$, $\beta = \frac{\hbar \omega_p}{k_0 T_e}$, $a = \frac{4\pi e^2 x_c}{\pi \epsilon_0 \hbar \omega_p}$, $\omega_p = \left(\frac{4\pi N e^2}{\epsilon_0 \mu} \right)^{1/2}$ — плаз-

менная частота, $\mu = \frac{m_e \cdot m_h}{m_e + m_h}$, T_e — температура ЭДП, N — концентрация пар в ЭДП.

Полоса ЛМ (4) состоит из бесплазмонной линии (БПЛ, $n=0$), многоплазмонах стоксовых ($n < 0$) и антистоксовых ($n > 0$) повторений, интенсивность которых определяется множителем $I_n(z) e^{-\frac{1}{2} n^2}$ где $I_n(z)$ — функция Бесселя мнимого аргумента. БПЛ и ее повторения достигают максимума в точках $\omega = \omega_g - \frac{a}{2} \omega_p + n \omega_p + \frac{1}{2\beta} \omega_p$, что и обуславливает эквидистантную осцилляционную структуру полосы.

Константа выделения плазмонов a , как видно, зависит от x_c . Заметим, что неучтенное в плазменных колебаниях короткодействующее взаимодействие частиц изотермической двухкомпонентной плазмы будет описываться экранированным кулоновским потенциалом с дебаевским радиусом $r_D =$



$$= \left(\frac{\epsilon_0 k_0 T_e}{8\pi N e^2} \right)^{1/2}, \text{ если положить } x_c = 1/r_D.$$

Более точно величина x_c должна определяться из условия существования корней дисперсионного уравнения. В соответствии с [6] для дальнейших оценок положим $x_c = 1/\sqrt{2} \tau_D$ и пренебрежем дисперсией плазмонов и затуханием Ландау. Импульсом плазона можно пренебречь при выполнении неравенства

$$\frac{\hbar x_c^2}{2m_e \cdot \hbar \omega_p} = \frac{1}{2} \frac{\mu}{m_e, h} \beta < 1, \quad (5)$$

т. е. при достаточно высоких температурах T_e . С другой стороны, нера-

венностю (5) не должно быть сильным, так как при увеличении электронной температуры увеличивается разброс пар по энергиям, в результате чего повторения БПЛ перекрываются и осцилляционная структура полосы не разрешается. В случае прямых переходов БПЛ и ее повторения имеют максвелловскую форму (4). Максимум максвелловской кривой лежит в точке $\omega = 1/2\beta$. Если расстояние между соседними повторениями больше расстояния от порога линии до ее максимума, т. е. при выполнении неравенства $1/2\beta < 1$, осцилляционная структура будет разрешена. Температурная избирательность структуры полосы ЭДП [3], кроме того, обусловлена условием существования плазменных волн $\omega_p \tau > 1$. Репеточная температура должна быть достаточно низкой, чтобы уменьшить вклад в частоту столкновений $1/\tau$ от взаимодействия с фононами. С другой стороны, электронная температура должна быть высокой, чтобы столкновения электронов и дырок были несущественными. Таким образом, при выполнении неравенств $K_0 T_e > \hbar \omega_p > \hbar/\tau$ столкновением и дисперсией плазмонов можно пренебречь и считать основным механизмом уширения температурный разброс пар по энергиям.

Согласно [3], при температуре решетки $T \approx 50$ К и $j = 20$ А/см² энергия плазмонов $\hbar \omega_p = 12$ мэВ, электронная температура $T_e = 140$ К, а концентрация пар в ЭДП $N = 1.3 \cdot 10^{17}$ см⁻³. Тогда $z = 2.3$, $\beta = 1$ и константа плазмовыделения $a = 2.4$. На рисунке представлены результаты расчета формы

полосы ЛМ по формуле (4) при указанных значениях параметров и экспериментальный спектр ЭДП пленки $n\text{ZnSe}/\text{Al}_2\text{O}_3$. Видно, что теория и эксперимент хорошо согласуются как по полуширине полосы, так и по числу ее плазмонных повторений.

Многоплазменные переходы в ЭДП, кроме того, можно привлечь для интерпретации урбаховского «хвоста» в краевом поглощении прямозонных полупроводников. В этом случае

$$K(\omega) = K_0 \exp\left(-\sigma \beta \frac{\omega_p - \omega}{\omega_p}\right). \quad (6)$$

Используя асимптотику функции Бесселя $I_n(z)$ при $n \gg 1$, находим

$$\sigma = 1 + \frac{1}{\beta} \ln \frac{2(\omega_p - \omega)}{a(n+1)\epsilon\omega_p}. \quad (7)$$

Таким образом, многоплазменные оптические переходы являются актуальным механизмом излучения и поглощения света в сильно возбужденных прямозонных полупроводниках.

Л и т е р а т у р а

- [1] Зиновьев Н. Н., Ярошенко И. Д. Письма в ЖЭТФ, 1981, т. 33, № 2, с. 109—112.
- [2] Кукушкин И. Д. ЖЭТФ, 1983, т. 84, № 5, с. 1840—1847.
- [3] By Зоан Мъен, Сенокосов Э. А., Стойкова В. Г., Усатый А. Н., Чукчев М. В. ФТП, 1985, т. 19, № 9, с. 1571—1576.
- [4] Вавилов В. С., Сенокосов Э. А., Чукчев М. В. ФТП, 1986, т. 28, № 9, с. 2614—2620.
- [5] Bohm D., Pines P. Phys. Rev., 1953, vol. 92, N 3, p. 609—625.
- [6] Бонч-Бруевич В. Л., Тябликов С. В. Метод функций Грина в статистической механике. М.: ГИФМЛ, 1961. 312 с.

Кишиневский государственный университет
им. В. И. Ленина
Кишинев

Поступило в Редакцию
4 сентября 1987 г.

УДК 539.211

Физика твердого тела, том 30, с. 2, 1988
Solid State Physics, vol. 30, № 2, 1988

РАЗУПОРЯДОЧЕНИЕ ДВУМЕРНЫХ РЕШЕТОК КИСЛОРОДА НА ГРАНИ (011) МОЛИБДЕНА, ИНИЦИИРУЕМОЕ ЭЛЕКТРОННЫМИ ПЕРЕХОДАМИ В АТОМАХ КИСЛОРОДА И МОЛИБДЕНА

И. Н. Засимович, Е. В. Клименко, А. Г. Наумовец

Явление электронно-стимулированного разупорядочения (ЭСР) адсорбированных пленок состоит в том, что падающий поток электронов создает дефекты в двумерной решетке адатомов и в пределе приводит к полному нарушению дальнего порядка. До настоящего времени ЭСР наблюдалось только для трех самых легких адсорбатов — водорода, дейтерия и лития — на гранях (011) W и Mo [¹⁻³]. При этом считалось, что начальной стадией процесса ЭСР является создание того или иного возбуждения в электронной оболочке самого адсорбированного атома.

В этой работе мы сообщаем о первом наблюдении ЭСР субмонослойной пленки более тяжелого адсорбата — кислорода — и об исследовании энергетической зависимости эффективного сечения этого процесса, которая указывает на то, что ЭСР может инициироваться электронными переходами не только в адатомах, но и в подложке.